

## 砂の応力と変位に関する一考察

京大工業教員養成所 正員 久保田敬一  
京大工業教員養成所 正員○佐藤忠信

1. まえがき この研究は砂質土の応力とヒズミ機構の解明に関する基本的研究の第一歩として、2, 3の仮定のもとに、砂質土に対する応力ダイレイタシーザーの新しい解釈を導いた。また破壊時の応力とダイレイタシーザーの値が実験的に直線関係を示すことが明らかとなつたので、この直線式の物理的意味を新しい応力ダイレイタシーザー式から究明し、あわせて、その係数を決定した。

2. エネルギー方程式 Roscoeが導いた供試体の単位体積当りのエネルギー変化  $\delta E$  は  $\delta E = \delta U + \delta W$  で表わされ、この右辺の値は

$$\delta U = P(\delta V)_e = \frac{k}{1+e} \delta p \quad (1) \quad \delta W = \{(\sigma_1 - \sigma_3) - \sigma_3 (\frac{\delta V}{\delta \varepsilon_1})_s\} (-\delta \varepsilon_1)_s \quad (2)$$

となる。ただし  $\delta U$  は弾性的エネルギー変化を、 $\delta W$  はせん断によるエネルギー変化を表わす。また各ヒズミは次式のように弾性項と塑性項に分解して用いた。

$$\delta \varepsilon_1 = (\delta \varepsilon_1)_e + (\delta \varepsilon_1)_s, \quad \delta \varepsilon_3 = (\delta \varepsilon_3)_e + (\delta \varepsilon_3)_s, \quad \delta V = (\delta V)_e + (\delta V)_s \quad (3)$$

ここで、最大主応力  $\sigma_1$  を  $\sigma_{1d}$  (ダイレイションのために外部になされる仕事の応力成分)、 $\sigma_{1ra}$  (供試体をリモールド状態にするまでの粒子配列のためになされる仕事の応力成分で体積変化となんらかの関係をもつもの)、 $\sigma_{1rc}$  (粒子のリモールドのためになされる仕事の応力成分) の3つに分解すると

$$\sigma_1 = \sigma_{1d} + \sigma_{1ra} + \sigma_{1rc} \quad (4)$$

いま、各応力に対する供試体単位体積当りのエネルギー変化を  $\delta W_1$ 、 $\delta W_{1d}$ 、 $\delta W_{1ra}$ 、 $\delta W_{1rc}$  とすれば

$$\delta W_1 = \delta W_{1d} + \delta W_{1ra} + \delta W_{1rc} \quad (5)$$

ここに、 $\delta W_1 = \sigma_1 (-\delta \varepsilon_1)_s$ 、 $\delta W_{1d} = \sigma_{1d} (-\delta \varepsilon_1)_s = \sigma_3 (\frac{\delta V}{\delta \varepsilon_1})_s (-\delta \varepsilon_1)_s$ 、 $\delta W_{1ra} = \sigma_{1ra} (-\delta \varepsilon_1)_s$ 、 $\delta W_{1rc} = \sigma_{1rc} (-\delta \varepsilon_1)_s$  である。いま、粒子配列のために供試体内部でなされる仕事  $\delta W_{1ra}$  と供試体がセル圧に対してなす仕事  $\delta W_{1d}$  との比を  $k$  とおくと、

$$\delta W_{1ra}/\delta W_{1d} = \{ \sigma_{1ra} (-\delta \varepsilon_1)_s \} / \{ \sigma_3 (-\delta \varepsilon_1)_s + 2\sigma_3 (\delta \varepsilon_3)_s \} = k \quad (6)$$

式(4), (5)から、 $\sigma_1 (-\delta \varepsilon_1)_s = \sigma_{1rc} (-\delta \varepsilon_1)_s - (k+1)(\delta V)_e \sigma_3$  (7)

式(7)に式(3)を代入すると

$$\sigma_1 \{ \delta \varepsilon_1 - (\delta \varepsilon_1)_e \} = \sigma_{1rc} \{ \delta \varepsilon_1 - (\delta \varepsilon_1)_e \} + (k+1) \{ \delta V - (\delta V)_e \} \sigma_3 \quad (8)$$

いま、 $(\varepsilon_1)_e$  と  $\varepsilon_1$  との間に  $(\varepsilon_1)_e = f(\varepsilon_1)$  なる関係があると

$$(\delta \varepsilon_1)_e = f' \delta \varepsilon_1, \quad (9)$$

式(1), (8), (9)から  $\frac{\sigma_1}{\sigma_3} = \frac{\sigma_{1rc}}{\sigma_3} + \frac{k+1}{1-f'} \left\{ \frac{\delta V}{\delta \varepsilon_1} - \frac{k}{1+f'} \frac{1}{P} \frac{\delta p}{\delta \varepsilon_1} \right\}$  (10)

がえられる。これが応力とダイレイタシーザーがもつ基本的な関係式である。ここで  $\varepsilon_1 \rightarrow \infty$  のとき  $(\delta V/\delta \varepsilon_1) \rightarrow 0$ 、 $(\delta p/\delta \varepsilon_1) \rightarrow 0$  となるから、 $\sigma_{1rc}/\sigma_3 = \tan^2(45^\circ + \phi/2) = K_{cr}$  となる。

3. ピーク点のエネルギー式 式(10)において側圧を一定にした完全排水試験の特別な場合を考えてみる。試験経路のピーク点においては  $(\delta \sigma / \delta \epsilon_1) = 0$  であるから  $(\delta P / \delta \epsilon_1) = 0$  となる、したがって、式(10)よりピーク点がもつ条件式は

$$\left( \frac{\delta \sigma}{\delta \epsilon_3} \right)_{\text{peak}} = K_{cu} + \alpha \left( \frac{\delta \sigma}{\delta \epsilon_1} \right)_{\text{peak}} \quad (11)$$

である。たゞし  $\alpha = \{(k+1)/(1-f)\}_{\text{peak}}$ ,  $K_{cu} = \tan^2(45^\circ + \phi_{cu}/2)$  である。ここで問題になるのは、 $\alpha$  の値であるが、これは次に述べるように一定値をとる。

4.  $\alpha$  の決定 図-1は種々の初期間欠比をもつ砂供試体の破壊時における  $(\delta \sigma / \delta \epsilon_3)$  と  $(\delta \sigma / \delta \epsilon_1)$  の関係をプロットしたものである。図中○印は数質海岸砂、●印はComforth, ×印はRowe のデータをまとめたものである。図によると各供試体の破壊点は一つの直線にのることがわかり、このことから式(11)の  $\alpha$  の値が一定値をとることになる。 $\alpha$  の値を決定するには、最も密につめた供試体の破壊点は Rowe の最小エネルギー条件を満足するとすれば、

$$\left( \frac{\delta \sigma}{\delta \epsilon_3} \right)_{\text{peak}} = \left( 1 + \frac{\delta \sigma}{\delta \epsilon_1} \right)_{\text{peak}} \tan^2(45^\circ + \frac{\phi_u}{2}) \quad (12)$$

であるから、式(11) (12) から

$$\alpha = \{ (K_{max} - K_{cu}) / (K_{max} - K_\mu) \} K_\mu \quad (13)$$

として  $\alpha$  の値が決定される。ここに  $K_{max} = \tan^2(45^\circ + \phi_{max}/2)$ ,  $K_\mu = \tan^2(45^\circ + \phi_u/2)$ ,  $K_{cu} = \tan^2(45^\circ + \phi_{cu}/2)$  を表わす。

5.  $\phi_{cu}$ ,  $\phi_{max}$  の決定 供試体の初期間欠比が最小のとき、供試体は破壊点において完全にリモールドされていると考えられ、 $(\delta \sigma / \delta \epsilon_1)_{\text{peak}} = 0$  となり  $(\delta \sigma / \delta \epsilon_3)_{\text{peak}} = K_{cu}$  とおくことができる。すなわち図-1の破壊点をむすぶ応力ダイレインシーアンス直線において、 $(\delta \sigma / \delta \epsilon_1) = 0$  の点の  $(\delta \sigma / \delta \epsilon_3)$  値から  $\phi_{cu}$  が求まる。最も密につめた砂の供試体の  $\phi$  の値が  $\phi_{max}$  を与えるから、図-2のような  $\phi_{cu}$ -D 曲線を考えてみることができる。ここに、 $D = (e - e_{min}) / (e_{max} - e_{min})$  である。図によると D の小さい範囲では  $\phi_{cu}$ -D 曲線は直線とみなしてよいから、 $\phi_{max}$  を  $D=0$  の時の  $\phi_{cu}$  の値から読みとることができ。いまこのような方法で図の3つの砂についてその基本的な係数  $\phi_{cu}$ ,  $\phi_{max}$ ,  $\alpha$  をまとめたものが表-1である。

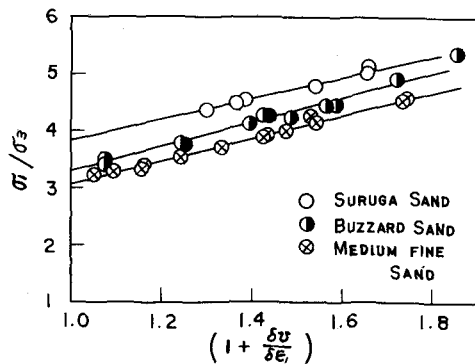


図-1 破壊時の応力ダイレインシーアンス関係

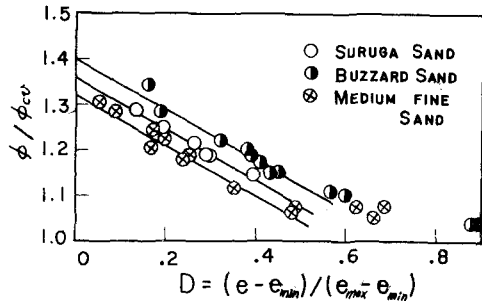


図-2  $(\phi/\phi_{cu})$ -D 関係曲線

表-1

	$\phi_\mu$	$\phi_{cu}$	$\phi_{max}$	$\alpha$
数質 海岸砂	—	$35^\circ$	$45.2^\circ$	1.65
Buzzard Sand	$24^\circ$	$32^\circ$	$45^\circ$	2.04
Medium fine Sand	$26^\circ$	$31^\circ$	$41^\circ$	2.00